



Analysis of Geopotential Altitude Trend on Iran under the Influence of Climate Change

Zahra Hejazizadeh ^a, Bohloul Alijani^b, Hossien Asakere^c, Mokhtar Fatahian^{d*} 

^a Professor in Meteorology, Faculty of Geographical Sciences, Kharazmi University of Tehran, Tehran, Iran

^b Professor in Meteorology, Faculty of Geographical Sciences, Kharazmi University of Tehran, Tehran, Iran

^c Professor in Meteorology, Faculty of Humanities, Department of Geography, Zanjan University, Zanjan, Iran

^d Department in Geography, Faculty of Literature, Kharazmi University of Tehran, Tehran, Iran

Received: 31 May 2021

Revised: 19 June 2021

Accepted: 25 July 2021

Abstract

Trend variations in large-scale atmospheric systems like subtropical high pressure play a significant role in climate change. In this study, to achieve the objectives, mid-level atmospheric geopotential altitude data were employed based on the European Center Database of Atmospheric Medium-Term Forecasting. The data that have a spatial resolution of 1°*1 degree of curve and are collected on a daily average. The statistical period of the research ranges from 1980 to 2018 for Iran and included 155 cells. Mann-Kendall trend test was used to explore the geopotential altitude trend on Iran. The results showed that the atmospheric geopotential altitude on Iran in June, July, and August has an increasing (positive) trend which is at the significant level of 1.96. The decreasing trend of geopotential altitude in the eastern and southeastern regions of Iran is remarkable. Moreover, in all the investigated months, Iranian atmosphere altitude in the central, western and northwestern regions had an upward trend, which is generally influenced by the high-pressure subtropical level. These changes cause abnormalities in climatic patterns of the regions. The study also showed that continuing subtropical pressure stack on top of ever-increasing trend in the region is significant.

Keywords: Geopotential Altitude, Trend Analysis, Climate Change, Iran

* Corresponding author: mukhtar.fatahian E-mail: mukhtar.fatahian@gmail.com Tel: + 0989192556845

How to cite this Article: Hejazizadeh, Z., Alijani, B., Asakere, H., & Fatahian, M. (2022). Analysis of Geopotential Altitude Trend on Iran under the Influence of Climate Change. *Journal of Geography and Environmental Hazards*, 11(1), 201-216.

DOI: 10.22067/geoeh.2021.70712.1068



Journal of Geography and Environmental Hazards are fully compliant with open access mandates, by publishing its articles under Creative Commons Attribution 4.0 International License (CC BY 4.0).



Creative Commons Attribution 4.0 International License (CC BY 4.0)



Geography and Environmental Hazards

Volume 11, Issue 1 - Number 41, Spring 2022

<https://geoeh.um.ac.ir>

<https://dx.doi.org/10.22067/geoeh.2021.70712.1068>

جغرافیا و مخاطرات محیطی، سال یازدهم، شماره چهل و یکم، بهار ۱۴۰۱، صص ۲۱۶-۲۰۱

مقاله پژوهشی

واکاوی روند ارتفاع ژئوپتانسیل جو بر روی ایران تحت تأثیر تغییر اقلیم

زهرا حجازی‌زاده^۱- استاد اقلیم‌شناسی، دانشکده علوم جغرافیایی، دانشگاه خوارزمی، تهران، ایران

بهلول علیجانی^۲- استاد اقلیم‌شناسی، دانشکده علوم جغرافیایی، دانشگاه خوارزمی، تهران، ایران

حسین عساکره^۳- استاد اقلیم‌شناسی، دانشکده علوم انسانی، گروه جغرافیا، دانشگاه زنجان، زنجان، ایران

مختار فتاحیان^۱- دکتری اقلیم‌شناسی، دانشکده علوم جغرافیایی، دانشگاه خوارزمی، تهران، ایران.



تاریخ دریافت: ۱۴۰۰/۳/۱۰ تاریخ بازنگری: ۱۴۰۰/۳/۲۹ تاریخ تصویب: ۱۴۰۰/۵/۳

چکیده

تغییر روند سامانه‌های کلان‌مقیاس جوی همچون پرفشار جنب‌حاره‌ای، نقش بسزایی در تغییر اقلیم سطح زمین دارد. در این پژوهش برای نیل به این هدف، از داده‌های ارتفاع ژئوپتانسیل جو تراز میانی (تراز ۵۰۰ ه.پ) از پایگاه داده وابسته به مرکز اروپایی پیش‌بینی میان‌مدت جو استفاده شده است. این داده‌ها داری تفکیک مکانی^۱* درجه قوسی و به صورت میانگین روزانه برداشت گردیده است. دوره آماری این پژوهش از سال ۱۹۸۰ تا ۲۰۱۹ میلادی برای کشور ایران بوده و شامل ۱۵۵ یاخته است. جهت بررسی روند ارتفاع ژئوپتانسیل بر روی ایران از آزمون روند من-کنдал استفاده گردید. نتایج پژوهش نشان داد که ارتفاع ژئوپتانسیل جو بر روی ایران در ماه‌های زوئن، جولای و آگوست دارای روند افزایشی (مبت) در سطح معنی‌داری ۱,۹۶ است. البته روند کاهشی ارتفاع ژئوپتانسیل در مناطق شرق و جنوب شرق ایران قابل تأمل است. همچنین در تمام ماه‌های موربدبررسی، ارتفاع جو ایران در مناطق مرکز، غرب و شمال غرب روند افزایشی داشته که عموماً این روند افزایشی متأثر سطح گستره پرفشار جنب حاره است. این تغییرات باعث ناهنجاری در الگوهای آب و هوایی مناطق می‌گردد.

کلیدواژه‌ها: ارتفاع ژئوپتانسیل، تحلیل روند، تغییر اقلیم، ایران.

Email: mokhtar.fatahian74@gmail.com

۰۹۱۹۲۵۵۶۸۴۵ نویسنده مسئول:

نحوه ارجاع به این مقاله:

حجازی‌زاده، زهرا؛ علیجانی، بهلول؛ عساکره، حسین؛ فتاحیان، مختار. (۱۴۰۱). واکاوی روند ارتفاع ژئوپتانسیل جو بر روی ایران تحت تأثیر تغییر اقلیم. *جغرافیا و مخاطرات محیطی*. ۱(۱). صص ۲۰۱-۲۱۶

<https://dx.doi.org/10.22067/geoeh.2021.70712.1068>

۱- مقدمه

تغییر اقلیم، تغییر معنی دار در متوسط داده های هواشناسی در طی یک دوره زمانی معین است که علل وقوع آن به عوامل کیهانی، زمینی و انسانی نسبت داده می شود ([عزیزی، ۱۳۸۳](#)) . امروزه مسأله تغییر اقلیم به عنوان یکی از شایع ترین مباحث علمی مطرح شده است؛ چراکه اصولاً تغییر و حرکت، جزء وجودی سامانه های کلان مقیاس جوی است. بر این اساس کشف قانونمندی تغییر این سامانه ها که عمدتاً به صورت چرخه ای هستند، خود ابزاری است که بتوان به کمک آن اقدام به پیش بینی رفتارهای بعدی سامانه کرد ([کاشکی، ۱۳۹۶](#)). توجه به تغییر الگوهای زمانی- مکانی پدیده ها در شناخت پویایی و بعد اقلیم از اهمیت شایان توجهی برخوردار است ([عساکر، ۱۳۹۲](#)). از دیدگاه اقلیم شناسی سینوپتیک، الگوها و عناصر متفاوتی از جریان های بزرگ مقیاس جوی، اقلیم ایران را کنترل می کنند که از آن میان می توان به کمریند پرفشار جنب حاره ای اشاره کرد ([علیجانی، ۱۳۸۴](#)). پرفشار جنب حاره، سامانه همدید پویشی (دینامیکی) بزرگی در مقیاس سیاره ای است که مرکز آن بر روی اقیانوس اطلس شمالی قرار دارد. این سامانه به دلیل گرمایش پویشی (دینامیکی) و ایجاد پایداری با هوایی گرم، آفتابی و خشک همراه است. این پرفشار در تراز فوچانی وردسپهر به ویژه فصل تابستان کل منطقه جنوب آسیا تا شمال آفریقا را در بر می گیرد ([زرین، ۱۳۸۶](#)). کمریندهای پرفشار مذکور که از دیرباز مرکز فعالیت^۱ نامیده می شوند، بارزترین و دائمی ترین سیمای گردش وردسپهری در این مناطق (مناطق جنب حاره) به شمار می روند ([بری و کارلتون، ۲۰۰۱](#)). شکل گیری و تداوم این کمریندهای فشار و چگونگی رفتار و تغییرات آنها، همچنین تأثیرگذاری بر سایر پدیده ها توسط بسیاری از دانشمندان جهان و ایران مورد مطالعه قرار گرفته است.

هاریس و همکاران^۳ تغییرات روزانه باد، فشار و دما در وردسپهر و پوش سپهر را بر روی آزور برای هر ماه از سال در ۳۰ تراز ارتفاعی، از سطح زمین تا ۱۰ هکتوپاسکال مورد بررسی قرار دادند. نتایج مقایسه کار این محققان با نظریه تابش (وقوع بیشینه دما در حوالی ظهر و یا چند ساعت پس از آن) نشان داد که، تغییرات روزانه دما به دلیل تغییرات در شیو ارتفاعی پوش سپهر رخ داده است. **آگی^۴ (۱۹۹۱)** در تحقیقی روند فراوانی چرخندها و واچرخندهای نیمکره شمالی را مورد بررسی قرار داد و آنها را با دوره های گرمایش و سرمایش مقایسه نمود. نتیجه کار این محقق دلالت بر این دارد که چرخنده و واچرخندها در طی دوره های سرمایش کاهش و در طی دوره های گرمایش افزایش داشته اند.

مراکز پرفشار جنب حاره به تناسب فصل سال و تحت تأثیر ناهمواری ها، تضاد گرمایشی بین خشکی و دریا، بودجه انرژی جو و... از الگو و ناپیوستگی زمانی - مکانی برخوردارند. به عنوان مثال در خصوص الگوی مکانی

1 Centers of Action

2 Barry and Carleton

3 Harris et al

4 Aggi

پرفشار جنوب حاره، [بل و بوسارت](#)^۱ (۱۹۸۹) طی بررسی تراز ۵۰۰ هکتوپاسکال دریافتند که بیشینه ارتفاعی مراکز پرفشار جنوب حاره در فصل تابستان، روی خشکی‌های جنوب غرب آمریکا، شمال غرب آفریقا، جنوب ایران، فلات تبت و جنوب شرق چین قرار می‌گیرد. بررسی‌های [دیویس و همکاران](#)^۲ (۱۹۹۷) در طی سال‌های ۱۸۹۹ تا ۱۹۹۰ نیز نشان داد که واچرخند آزور در طول تابستان و زمستان دارای الگوهای متفاوتی می‌باشد؛ بدین معنا که این واچرخند در تابستان به شکل یک سلول بر روی اقیانوس اطلس مرکزی ظاهر می‌شود، در صورتی که الگوی زمستانه آن به صورت دو سلول، یکی بر روی جنوب شرق ایالات متحده و دیگری بر غرب مراکش ایجاد می‌گردد.

[لو و دانگ](#)^۳ (۲۰۰۱) در مطالعه‌ای وردایی سال به سال پرفشار جنوب حاره تابستانه در اقیانوس آرام شمالی را با استفاده از داده‌های دویاره تحلیل شده و تجربیات عددی موردنظری قرار دادند. نتیجه بررسی فوق حاکی از ارتباط معنادار بین وردش مداری پرفشار جنوب حاره و وردش شدت همرفت جو بر روی استخر گرم است. هر چه همرفت بر روی استخر گرم شدیدتر باشد، موقعیت پرفشار شرق‌سوتر است و بالعکس. اخیراً دانشمندان به منظور تحلیل الگویی فضایی و نیز عوامل مؤثر بر رفتار و تقویت پرفشارهای جنوب‌حاره‌ای، توجه خاصی به سازوکار مقیاس منطقه‌ای دارند، از این قبیل مطالعات می‌توان به کارهای ([هاسکینز](#)^۴، ۱۹۹۶؛ [لیو و همکاران](#)^۵، ۲۰۰۱؛ [لیو و همکاران](#)^۶، ۲۰۰۴) اشاره نمود.

[لیو و وو](#)^۷ (۲۰۰۴) نیز براین باورند که سازگاری گرمایی جو به واداشت گرمایی خارجی و توابی پتانسیل، عامل شکل‌گیری واچرخند جنوب حاره می‌باشد. این محققان بر عامل گرمای نهان همرفتی ناشی از گردش موسمی آسیایی و اثر ارتفاعات و شدت دمای سطح خشکی‌های مناطق جنوب حاره در تشکیل واچرخند جنوب آسیا تأکید می‌کنند. پرفشار جنوب حاره، گردش جو و انتقال بخارآب به اطراف را تحت تأثیر قرار داده و شرایط جوی را نه تنها در نواحی مجاور و در امتداد جنوب حاره، بلکه بر روی کل کره زمین متأثر می‌سازد. به عنوان مثال [سانتوز و همکاران](#)^۸ (۲۰۰۵) در پژوهشی دریافتند که طی فاز مثبت NOA و تقویت پرفشار آزور بر روی شبیه‌جزیره ایرانی، عموماً شرایط اقلیمی خشک شکل می‌گیرد. [گالانیو و همکاران](#)^۹ (۲۰۰۶) در یک دوره ۵۴ ساله، واچرخندهای بسته عرض‌های جنوب حاره و میانی را در سه تراز ۵۰۰، ۸۵۰ و ۲۰۰ هکتوپاسکال موردنظری قرار دادند. نتایج کار این محققان نشان داد که واچرخندهای تراز ۵۰۰ هکتوپاسکال در طول تمامی ماههای سال بر روی اقیانوس‌های جنوب حاره و در طی سه‌ماهه

۱ Bell and Bosart

۲ Davis et al

۳ Lu and Dong

۴ Hoskins

۵ liu et al

۶ Wu et al

۷ Liu and wu

۸ Santos et al

۹ Galarneau et al

گرм سال بر روی قاره‌های این مناطق ایجاد می‌شوند. همچنین این محققین نشان دادند که واچرخندهای تراز ۸۵۰ هکتوپاسکال در مناطق اقیانوسی و در زیر ناوه تراز بالاتر ایجاد می‌شود. این در حالی است که به نظر آن‌ها واچرخندهای تراز ۲۰۰ هکتوپاسکال تنها در طی فصل تابستان، آن هم بر روی قاره‌های مناطق جنوب حاره ایجاد می‌شوند.

امروزه به دلیل مطرح شدن گرمایش جهانی و پدیده رخداد تغییر اقلیم، واکاوی تغییرات الگوهای گردشی جو با استفاده از مدل‌های اقلیمی و روش‌های آماری مورد توجه بسیاری از محققان قرار گرفته است (Raible و همکاران^۱)^{۲۰۰۵}. طبق مطالعات انجام شده از اواسط دهه ۱۹۷۰ به سرعت اندازه‌های سالانه ارتفاع مناطق جنوب حاره در حال افزایش بوده است. از آنجاکه هوای نزولی (STHP^۳) باعث افزایش خشکی هوا می‌شود، گسترش آن ممکن است مناطق مرطوب را به سمت وسیعی زمین‌های خشک‌تر تمایل کند. Lee و همکاران^۴^{۲۰۱۱} در مطالعه‌ای به کمک داده‌های NCEP جهت مطالعه تغییرات ارتفاع رئوپتانسیل پروفشار آزور در تراز ۸۵۰ هکتوپاسکال و همچنین با استفاده از داده‌های ERA-40 (ECMWF)، بارش تابستانه جنوب شرق ایالات متحده امریکا را بین سال‌های ۱۹۴۸ تا ۲۰۰۷ موردنبررسی قرار داده‌اند. هدف آن‌ها مطالعه تغییرات پروفشار ارتفاع آزور (متاثر از گرم شدن کره زمین) و تغییر پذیری بارش تابستانه جنوب شرق امریکا بود. بر اساس نتایج، ارتفاع پروفشار جنوب حاره آزور بیشتر شده و تمایل پروفشار به سمت مناطق غربی‌تر، منجر به کاهش بارندگی و خشک شدن تابستانهای جنوب شرق امریکا طی چند سال اخیر شده است. پیش‌بینی‌ها نشان داد روند افزایش دمای زمین باعث تشدید پروفشار مذکور و نزدیک‌تر شدن هسته پروفشار به مناطق غربی (امریکا) و افزایش خشکسالی‌ها در این منطقه شود. این نتایج تحقیقات قبلی را که نشان می‌دهد گسترش شمال‌سو واچرخندها به مناطق خشک جنوب حاره در نیمکره شمالی با ادامه تغییرات آب و هوایی جهانی تقویت شده، تأیید می‌کند.

تغییرات در موقعیت یا شدت واچرخندهای جنوب حاره، پیامدهای مهمی برای تغییرات آب و هوایی در مقیاس‌های منطقه‌ای و جهانی دارد. در بررسی سناریوهای قرن ییست و یکم در چارچوب فاز سوم و پنجم پژوهه، تشدید پارتفاع جنوب حاره در هر دو نیم‌کره شمالی و جنوبی براساس الگوهای ترکیبی CMIP-3 و CMIP-5 گزارش شده است. Wu و Lio^۴^{۲۰۱۷} به بررسی واکنش و تغییرات آینده در واچرخندهای جنوب حاره در مقابل گرمایش جهانی با استفاده از داده‌های مدل CMIP5 تحت سناریو RCP8.5 بر روی نیمکره شمالی و جنوب پرداخته‌اند. یافته‌های این محققان بیانگر این واقعیت است که، با افزایش گرمایش در رو ناشی از بالا رفتن گرمایش جهانی در سطح اقیانوس‌ها، شدت واچرخند آزور در نیمکره شمالی بیشتر شده و گستره مداری آن افزایش یافته

1 Raible et al

2 Subtropical high pressure

3 Lee et al

4 Wu and Liu

است. همچنین خروجی مدل تا سال ۲۱۰۰ شدت و گستره واخرخندهای جنوب حاره نیمکره شمالی را قوی‌تر از نیمکره جنوبی پیش‌بینی کرده است.

چرچی و همکاران^۱ (۲۰۱۸) در مقاله‌ای با عنوان (پاسخ مراکز پرشار جنوب حاره به گرمایش جهانی) با کمک سناریوهای اقلیمی (cmip3_cmip5) به بررسی اثر تغییر اقلیم بر تغییرپذیری پرشارهای جنوب حاره‌ای از منظر شدت و گسترش این مراکز پرداختند. یافته‌ها نشان داده که تغییرات به وجود آمده در مراکز پرارتفاع جنوب حاره از نظر شدت و ضعف در دو نیمکره یکنواخت نیست و متفاوت‌تر گزارش شده است. در نیمکره شمالی بر اساس خروجی سناریو (CMIP3)، تقویت پرارتفاع جنوب‌حاره‌ای ناشی از گرمایش دیباتیک سطحی بیشتر بر روی قاره‌ها و دمای پایین سطح اقیانوس‌ها است که گردش واخرخندی نزدیک به سطح زمین را تسهیل می‌کند. همچنین براساس عملکرد مدل‌های (CMIP-5) در نمایش موقعیت میانگین و شدت پرارتفاع جنوب حاره در فصول مختلف سال، پرارتفاع جنوب حاره در نیمکره شمالی (قوی‌تر) و در نیمکره جنوبی (ضعیف‌تر) شناخته شده‌اند. تضعیف پرشارهای نیمکره جنوبی با توجه به شکل‌گیری ابرهای لایه پایین بر سطح دریا عمدتاً بر روی اقیانوس اطلس و اقیانوس آرام مدنظر بوده است. در مقایسه دو سناریو براساس آینده‌نگری، سناریو (CMIP-5) نتایج کمی متفاوت‌تر بوده است. با بیان اینکه پرارتفاع جنوب حاره بر فراز اقیانوس آرام شمالی، اقیانوس اطلس جنوبی و اقیانوس هند در نیمکره جنوبی ضعیف‌تر خواهد شد، مراکز پرارتفاع جنوب حاره در نیمکره شمالی تشدید خواهند شد. **تیویگ و همکاران^۲ (۲۰۲۰)** با استفاده از مدل اقلیمی (cmip5) به مطالعه تغییرات روند رطوبت (UTH) تroposfer فوکانی و همچنین با استفاده از تصاویر ماهواره‌ای مقادیر میزان تابش مناطق واقع در مناطق جنوب حاره را در دوره گرم و سرد سال مورد بررسی قرار دادند. نتایج نشان داده است که، مناطق جنوب حاره در تroposfer فوکانی در نیمکره زمستان کمربند خشکی تشکیل می‌دهند و با افزایش سالانه ۱٪ غلظت CO₂، تمایل به خشک شدن در لبه قطبی این کمربند خشک نسبت به قسمت‌های بزرگ کره زمین افزوده شده است. همچنین در شبیه‌سازی‌های تاریخی این روند خشک شدن هم قابل مشاهده است. مقادیر بازتابش‌های مادون‌قرمز از تصاویر ماهواره‌ای از سال ۱۹۷۹ نشان می‌دهد، الگوی کلی فصلی، تمایل به خشک شدن در جانب سوی قطبی کمربند پرشار جنوب حاره را برای مقیاس زمان کوتاه‌تر نشان می‌دهد. خروجی مدل‌های اقلیمی گویایی این واقعیت است که پرشار جنوب حاره در هر دو نیمکره در فصل زمستان در تمام طول جغرافیایی روند گسترشی داشته است. در یکی از مطالعات اخیر (**ناتالی و همکاران^۳، ۲۰۲۱**) با استفاده از مدل‌های اقلیم جهانی (GCM) به بررسی اثر داده‌های درون‌یابی شده از مدل GCM (گرمایش سطحی) بر شدت و گستره پرشار جنوب حاره بر روی اقیانوس آرام جنوبی پرداخته‌اند. نتایج نشان می‌دهد که افزایش گرمایش سطحی، از طریق افزایش واگرایی سطح بالا، امواج راسی را تحریک می‌کند که به عرض‌های جغرافیایی نیمکره جنوبی

1 Cherchi et al

2 Tivig et al

3 Natalie et al

گسترش می‌یابد. با گستره شمال سو امواج راسی، الگوی فشار در سطح دریا تغییر می‌کند، که این امر منجر به تشیدی مساحت و قدرت مرکز آنتی سیکلون جنوب حاره، در اقیانوس آرام جنوبی می‌گردد.

حجازی زاده (۱۳۷۲) با بررسی نوسان‌های پرفشار جنوب حاره و تأثیر آن در تغییر فصل ایران، نتیجه گرفته است که، نوسان‌های دو مؤلفه پرفشار جنوب حاره و تاوه قطبی، به تغییر فصل در ایران منجر می‌شود. **قائمی و همکاران (۱۳۸۸)** با استفاده از داده‌های ماهانه ارتفاع ژئوپتانسیل و مؤلفه مداری و نصفالنهاری باد در یک دوره ۳۰ ساله (۱۹۷۱-۲۰۰۰) به بررسی الگوی فضایی پرفشارهای جنوب حاره آسیا و افریقا پرداختند. نتایج تحقیق ایشان نشان داد که، فقط فلات ایران در هر دو تراز میانی و فوقانی وردسپهر دارای پرفشار مستقل است. سایر مناطق از جمله فلات تبت تنها در تراز فوقانی ولی شمال غرب آفریقا و شبهجزیره عربستان فقط در تراز میانی وردسپهر دارای مراکز پرفشار مستقل می‌باشند. به همین ترتیب، پرفشار آزور فقط در تراز زیرین وردسپهر گسترش پیدا می‌کند. همچنین براساس نتایج به دست آمده، پرفشار جنوب حاره ایران بر خلاف یافته‌های پیشین، در هیچ ترازی زبانه‌ای از پرفشار آزرو نیست.

مفیدی و همکاران (۱۳۸۹) در پژوهشی به بررسی ساختار گردش بزرگ مقیاس جو بر روی جنوب غرب آسیا در طول دوره گرم سال پرداختند. در این پژوهش ابتدا ویژگی‌های بنیادی و ماهیت گردش بزرگ مقیاس جو بررسی شد و سپس وردایی زمانی آن برای یک دوره ۶۱ ساله (۱۹۴۸-۲۰۰۸) مورد تجزیه و تحلیل قرار گرفت. یافته‌های این تحقیق بیانگر آن است که، با آغازگری گردش موسمی در جنوب و جنوب شرق آسیا یک جریان غرب سو مداوم در وردسپهر فوقانی شکل می‌گیرد که محل اصلی همگرایی آن چاهه گرمایی جنوب غرب آسیا و شرق مدیترانه است. شکل‌گیری و تداوم جریان مداری غرب سو، جنوب غرب آسیا را محل همگرایی و نزول مداوم هوای منشاء یافته از موسمی جنوب و جنوب شرق آسیا می‌سازد. تداوم نزول بزرگ مقیاس هوا ضمن ایجاد شیب معکوس نصفالنهاری دما، پیدایش یک گردش هدلی معکوس را در امتداد نصفالنهاری بر روی جنوب غرب آسیا موجب می‌گردد. **علیجانی و همکاران (۱۳۹۸)** در مطالعه‌ای با استفاده از تحلیل فضایی به بررسی نقش گرمایش جهانی در گستره هسته پرفشار جنوب حاره از نظر ارتفاع و شدت آن پرداخته‌اند. نتایج نشان داده که، ارتفاع هسته پرفشار جنوب حاره (ارتفاع ۵۹۱۰ ژئوپتانسیل متر) نسبت به شرایط مشابه در دوره اول مطالعاتی یعنی قبل از شرایط گرمایش جهانی، به ارتفاع ۵۹۴۰ متر تحت تأثیر گرمایش جهانی رسیده است و شدت آن فزونی یافته است.

با توجه به موقعیت جغرافیایی کشور ایران و قرارگیری آن در معرض سامانه‌های اقلیمی حاره‌ای و بروون‌حاره، اقلیم کشور در رابطه تنگاتنگی با این سامانه‌ها و جایگایی آنها قرار دارد. بدین جهت در این مطالعه تلاش نموده‌ایم تا به بررسی روند تغییرات و جایگایی سامانه پرفشار جنوب حاره بر روی ایران پردازیم. شناسایی موقعیت جغرافیایی پرفشار جنوب حاره و وردش‌های زمانی-مکانی آن به عنوان عامل اصلی مؤثر بر آب‌وهوای ایران در دوره گرم سال دارای اهمیّت است.

۲- مواد و روش

در این پژوهش از پایگاه داده‌های جو بالا با تفکیک زمانی روزانه در سال‌های ۱۹۸۰ تا ۲۰۱۹ میلادی از تارنمایی <https://www.ecmwf.int> که وابسته به مرکز اروپایی پیش‌بینی میان‌مدت جو است، استفاده شده است. با استفاده از قابلیت برنامه‌نویسی نرم‌افزار متلب در سطح هر یاخته که در عرض و طول مشخصی قرار گرفته، داده‌های روزانه (پیکسلی به ابعاد ۱۵۵*۱۲۴۰) هر یاخته تبدیل به داده‌های سالانه (پیکسلی به ابعاد ۱۵۵*۴۰) گردید. سپس روند را برای هر یاخته و درنهایت متوسط سطح قلمرو مراکز پرشمار جنوب حاره بر روی ایران، برای هر یک از ماههای موردمطالعه (ژوئن، جولای، آگوست) محاسبه شد. تراز موردنبررسی، لایه میانی جو (۵۰۰ ه.پ) می‌باشد. علت انتخاب تراز مذکور این است که تراز ۵۰۰ ه.پ به عنوان تراز میانی جو، نشان دهنده ویژگی سطوح بالا و پایین جو و همچنین بیانگر بیشترین هدایت سامانه‌های عرض‌های میانی و اغتشاشات جوی (علیجانی، ۱۳۷۸) می‌باشد.

به منظور الگو درآوردن تغییرات در سری‌های زمانی ماهانه ارتفاع ژئوپتانسیل به بررسی و تحلیل روند پرداخته می‌شود. در راستای بررسی روند و با هدف دست یابی به روند پر ارتفاع‌های جنوب حاره‌ای، روند ارتفاع ژئوپتانسیل جو موردنبررسی قرار گرفت. جهت محاسبه روند ارتفاع ژئوپتانسیل از رگرسیون خطی ساده (روش من-کندال در سطح اطمینان ۱,۹۶ درصد معنی‌داری) بهره گرفته شده است. در این روش معادله برآش خط به صورت رابطه ۱ است:

$$\hat{y}_i = a + bt_i \quad (1)$$

در این رابطه \hat{y} مختصات خط به ازای t_i م مختلف است. جزء $a + bt_i$ در این معادله به عنوان مؤلفه قطعی موسوم است که در آن a عرض از مبدأ و b شیب خط حاصل از معادله است (عساکر، ۱۳۸۶؛ ۲۵-۳). برای محاسبه ضرایب رگرسیونی (a, b) در این پژوهش، از روش کمترین مربعات خطا (LSE) بهره گرفته شده است که محاسبه شیب خط از طریق رابطه ۲ و عرض از مبدأ از رابطه ۳ انجام گرفته است.

$$b = \frac{\sum_{i=1}^n (x_i - \bar{x})(y_i - \bar{y})}{\sum_{i=1}^n (x_i - \bar{x})^2} \quad (2)$$

$$a = \bar{y} - b\bar{x} \quad (3)$$

سپس آزمون معنی داری ضرایب را بر روی این فراسنجهای انجام دادیم. برآورده شیب خط (b) نماینده میانگین

$$MSD = \frac{\sum_{i=1}^n (y_i - \bar{y})^2}{n-2}$$

شیب خط و انحراف استاندارد شیب خط (SE(b)) نیز بر اساس پراش ماندهای (b) به روشن زیر قابل حصول است:

$$SE(b) = \sqrt{\frac{MSD}{\sum_{i=1}^n (t_i - \bar{t})^2}} \quad (4)$$

می توان آزمون فرض صفر مبتنی بر برابری ضرایب شیب خط جامعه (β) با صفر را به صورت $H_0: \beta = 0$ در مقابل $H_1: \beta \neq 0$ استفاده از آماره t به شرح زیر انجام داد:

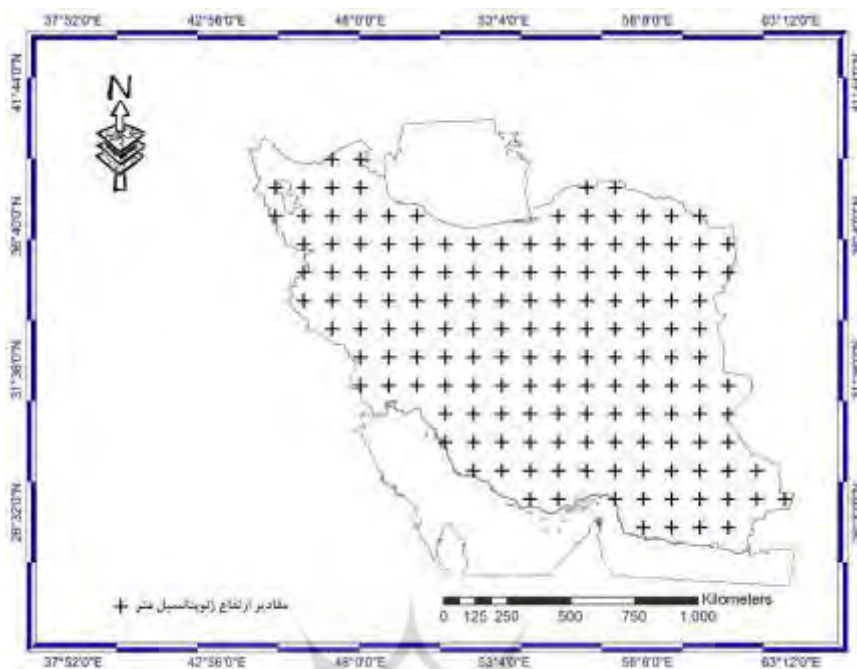
$$t_o = \frac{b}{SE(b)} \quad (5)$$

قدر مطلق t_o با $t_{(n-2,\alpha/2)}$ از جدول t با $n-2$ درجه آزادی قابل مقایسه است. در صورتی که قدر مطلق t_o بزرگتر از t_c جدول (t_c) با $n-2$ درجه آزادی و در سطح معنی داری α باشد ($|t_o| > t_{(n-2,\alpha/2)}$ ، شواهد کافی برای پذیرش فرض صفر وجود نخواهد داشت (عساکر، ۱۳۸۶).

تمام محاسبات مربوطه در محیط نرم افزار MATLAB صورت پذیرفت و نقشه های مربوط به توزیع مکانی روند پرشار با استفاده از نرم افزار SURFER ترسیم گردید.

۱-۲ منطقه مورد مطالعه

محدوده مورد بررسی در این پژوهش، کشور ایران از ۲۶ تا ۳۹ درجه عرض جغرافیایی و ۴۵ تا ۶۶ درجه طول جغرافیایی می باشد. چون تکیک مکانی داده های ارتفاع ژئوپتانسیل 1^* درجه قوسی انتخاب شده، این محدوده شامل ۱۵۵ یاخته است (شکل ۱).



شکل ۱- محدوده مورد بررسی با 155×155 یاخته به تفکیک 1×1 درجه

۳- بحث و نتایج

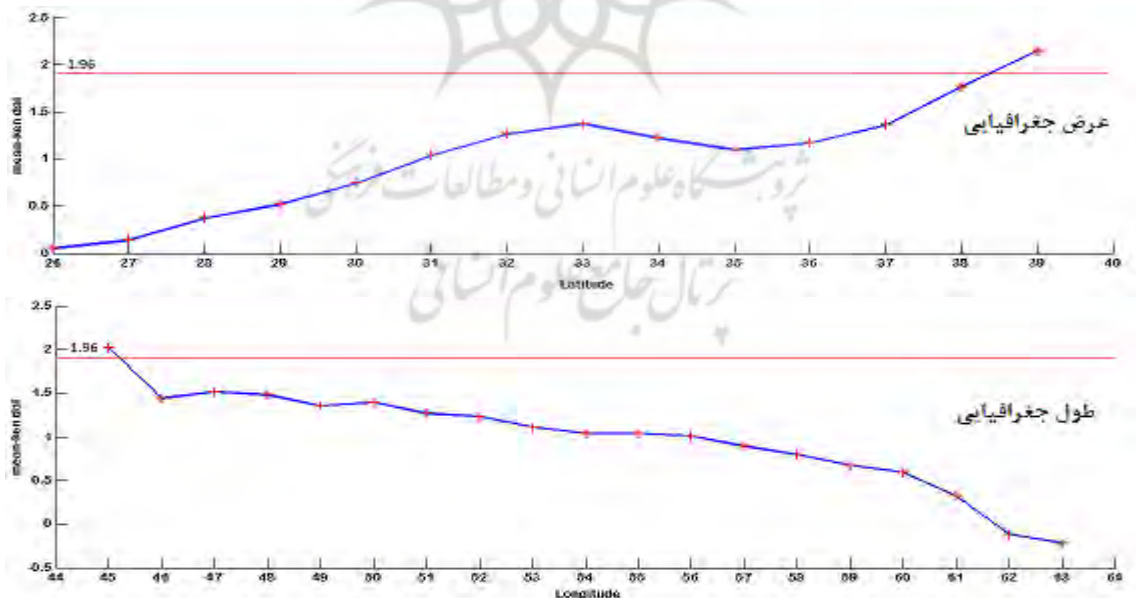
اشکال (۱، ۲، ۳) چگونگی تغییرات روند ماهانه ارتفاع ژئوپتانسیل متر را در سه ماه (ژوئن، جولای، آگوست) و همچنین مقادیر آزمون من-کندال را در طی دوره آماری ۴۰ ساله (۱۹۸۰-۲۰۱۹) با استفاده روش فوق نشان می‌دهد. [جدول ۱](#)، نتایج آزمون من-کندال را نشان می‌دهد. همان‌طور که در شکل‌ها نشان داده شده است، ارتفاع ژئوپتانسیل روند رو به افزایشی را در کل دوره بر روی ایران نشان می‌دهد. این افزایش از عرض ۳۵ به بالاتر در هر سه ماه و همچنین در کل منطقه قابل توجه است، و به سمت غرب و شمال غرب ایران روندهای افزایشی رخ داده است. حداقل روند ارتفاع ژئوپتانسیل جو در عرض‌های ۳۸ و ۳۹ درجه جغرافیایی مشهود است. همچنین بررسی تغییرات روند ارتفاع در طول جغرافیایی نشان می‌دهد که تغییرات ارتفاع ژئوپتانسیل، روند کاملاً متفاوتی را با عرض جغرافیایی بر روی ایران و موقعیت منطقه‌ای دارد ([شکل ۴، ۳](#)). بیشترین افزایش روند در طولهای بین ۴۵ تا ۵۰ درجه شرقی رخ داده است، و به سمت جنوب شرق ایران روندهای کاهشی بوده است. با محاسبه مقادیر روند ارتفاع ژئوپتانسیل جو ([جدول ۱](#))، مشخص گردید که در همه ماه‌ها (ژوئن، جولای، آگوست) آهنگ افزایشی ارتفاع جو بر روی ایران مشاهده می‌گردد. ارتفاع ژئوپتانسیل جو در ماه‌های خرداد، تیر و مرداد دارای آهنگ افزایشی (مثبت) معنی‌داری در سطح ۱/۹۶ است. بیشترین میزان آهنگ افزایشی مربوط به مردادماه با مقدار $\frac{3}{4}$ و کمترین مقدار، از آن تیرماه با مقدار -5 می‌باشد.

جدول ۱ - نتایج آزمون من-کندال در هر سه ماه، طی دوره موردمطالعه

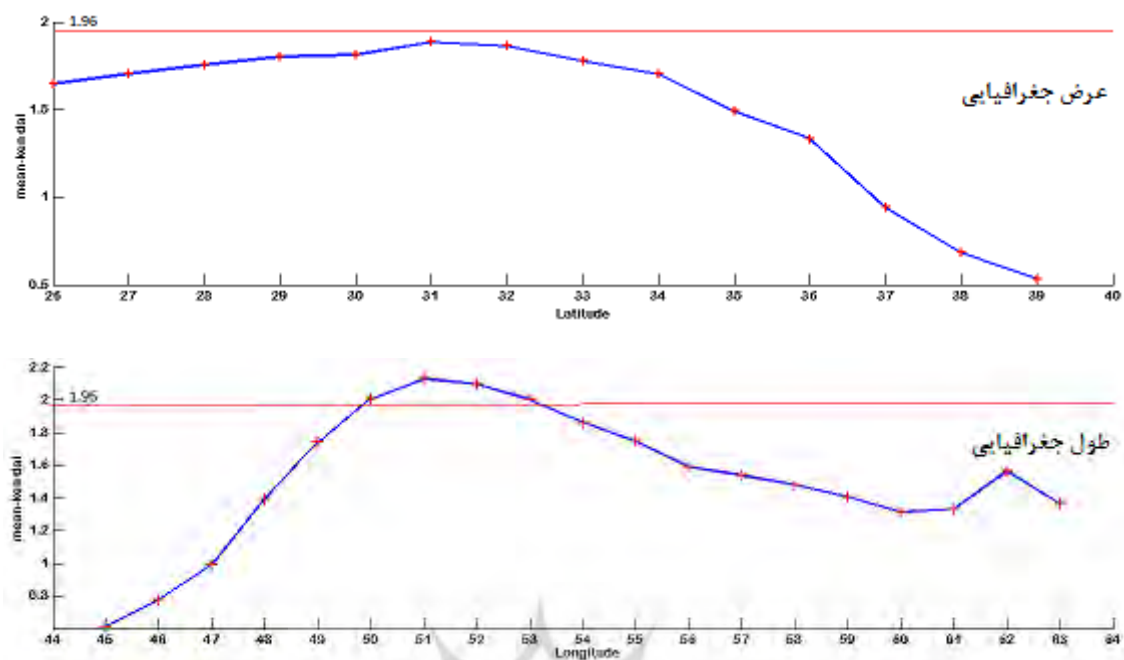
مقادیر روند ارتفاع ژئوپتانسیل متر ***													ماه	هزار هکتوپاسکال
-۳	-۱	۰,۱	۰,۷	۰,۹	۱	۱,۳	۱,۵	۱,۷	۱,۹	۲,۱	۲,۴	ژوئن		
-۵	۰	۱	۱,۵	۱,۶	۱,۸	۲	۲,۲	۲,۵	۲,۷	۲,۹	۳	جولای		
-۱	۱	۱,۲	۱,۶	۱,۸	۲	۲,۲	۲,۴	۲,۸	۳	۳,۲	۳,۴	آگوست		
***؛ معنی داری را در سطح ۱,۹۶ درصد نشان می دهد.														

ملاحظه می شود که خط روند (شکل ۲) در محدوده عرض جغرافیایی ایران از ۲۷ درجه به تدریج روند افزایشی رو گرفته است، اگرچه مقادیر روند پایین تر از سطح ۱,۹۶ معناداری نبوده است، ولی روند ارتفاع ژئوپتانسیل بر روی ایران افزایشی است. به این ترتیب از عرض های ۳۷ درجه به تدریج مقادیر روند بالاتر از سطح ۱,۹۶ درصد در حال رخدادن است. بیشترین آهنگ افزایش عرضی در روند ارتفاع ژئوپتانسیل بر روی ایران در مردادماه مشاهده می گردد که میزان آن حدود ۳۰ متر در طول دوره آماری است. روند ارتفاع ژئوپتانسیل جو در طول جغرافیایی کشور ایران به طرف شرق، آهنگ کاهشی را نشان داده است (شکل های ۲ تا ۴). به طور کلی، افزایش عرضی ارتفاع ژئوپتانسیل جو بر روی ایران ناشی از تغییرات اقلیمی کلان مقیاس و در بعد سیارهای است که مسلمان افزایش گرمایش جهانی و به تبع آن پیش روی سامانه پرفشار جنب حاره ای یکی از پارامترهای تأثیرگذار خواهد بود.

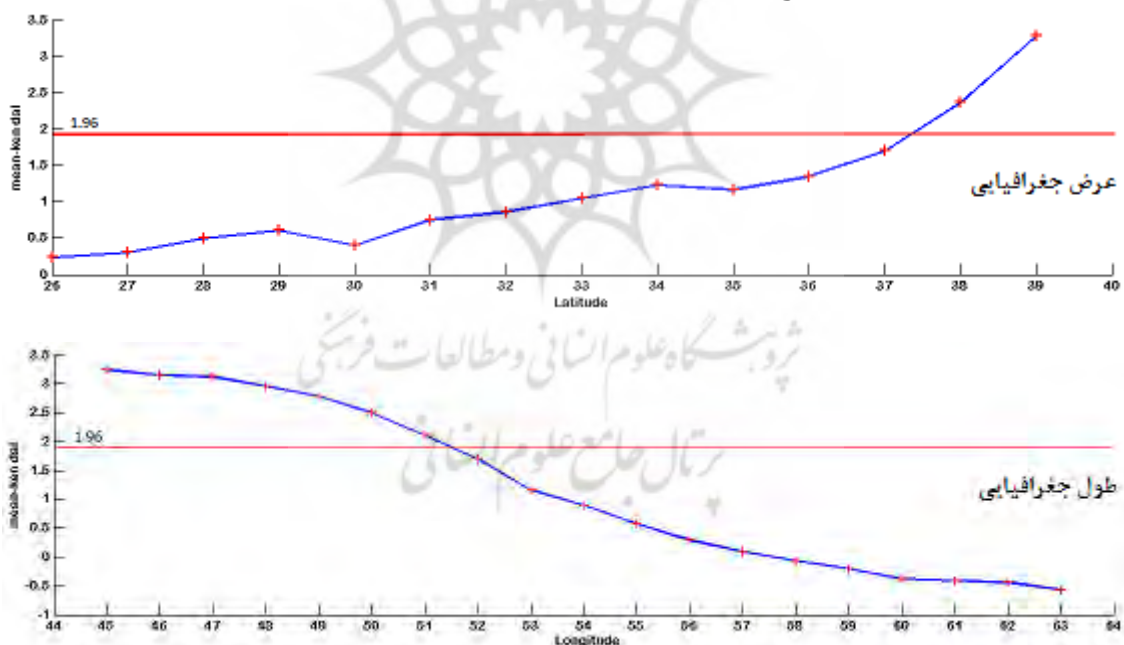
در اشکال زیر محور افقی عرض یا طول جغرافیایی، و محور عمودی مقادیر روند ارتفاع ژئوپتانسیل جو معناداری در سطح ۱,۹۶ درصد روش من-کندال (ماه ژوئن) به متر است.



شکل ۲- تغییرات روند ارتفاع ژئوپتانسیل جو در عرض و طول جغرافیایی بر روی ایران (ماه ژوئن)

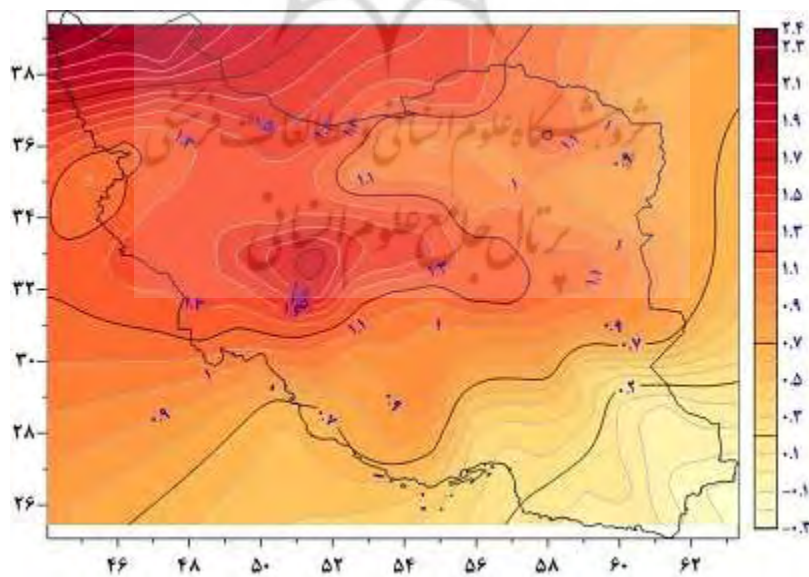


شکل ۳- تغییرات روند ارتفاع ژئوپتانسیل جو در عرض و طول چهارفیابی بر روی ایران (ماه جولای)

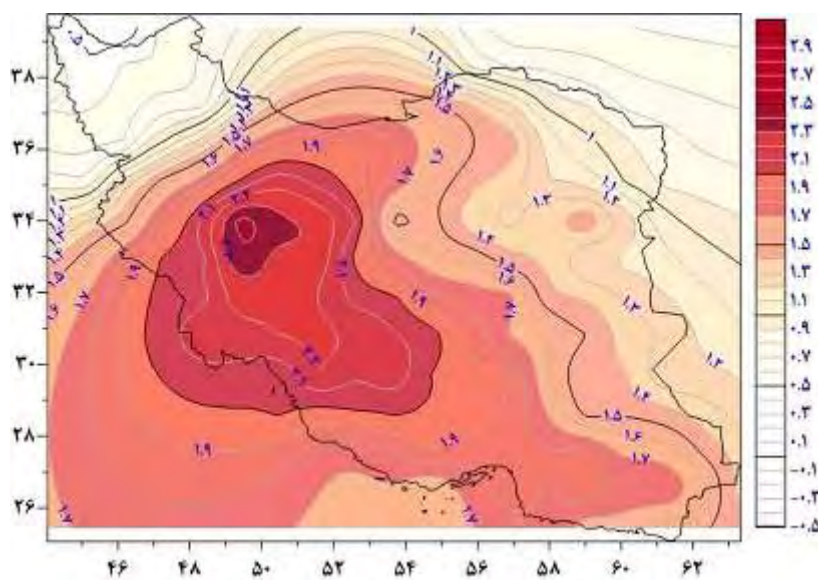


شکل ۴- تغییرات روند ارتفاع ژئوپتانسیل جو در عرض و طول چهارفیابی بر روی ایران (ماه آگوست)

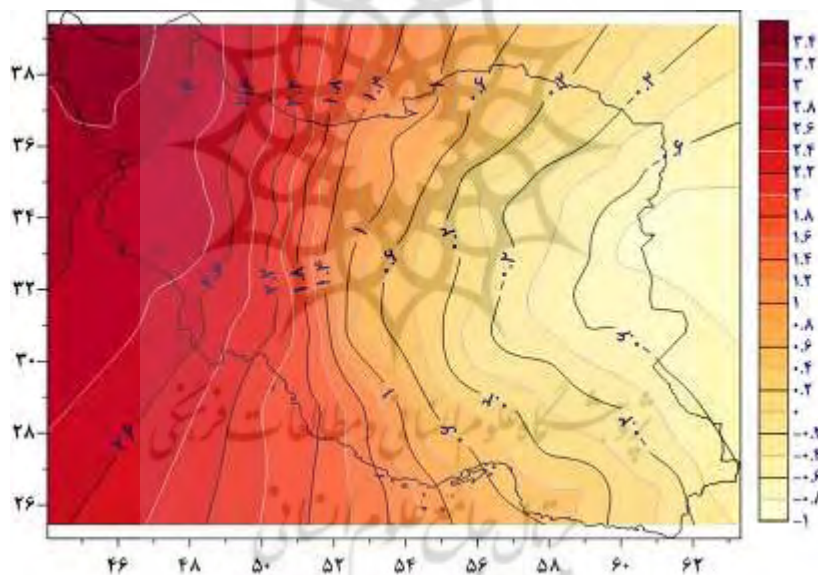
با عنایت به اینکه برای بررسی روند ارتفاع ژئوپتانسیل بر روی کشور ایران، مقادیر روند بر روی نقشه تعریف شده است، همچنان نقشه مربوط به گستره مکانی پروشار جنب حاره در ماههای گرم سال (ژوئن، جولای، آگوست) در دوره آماری ۴۰ ساله، ترسیم گردید ([شکل ۵ تا ۷](#)). گستره روند افزایشی ارتفاع جو مربوط به مردادمه می‌باشد، زیرا با گرم شدن هوا و پیشروی پروشار جنب حاره‌ای، ارتفاع جو افزایش یافته و مقادیر بیشینه روند ارتفاع جو در این ماه در مناطق شمال غربی ایران رخ داده است ([شکل ۷](#)). عموماً این سیر افزایشی روند ارتفاعی جو طبق [شکل های شماره \(۵ و ۶\)](#) نیز در نیمه گرم سال بیشتر در مناطق غرب و شمال غرب ایران در حال رخ دادن است. به طور قاطع می‌توان گفت که، روند افزایشی ارتفاع ژئوپتانسیل جو بر روی مناطق مذکور و کاهش مقادیر آن در مناطق شرق و جنوب شرقی کشور، می‌تواند ناشی از پیشروی پروشار جنب حاره به عرض‌های بالاتر باشد. از سوی دیگر، ممکن است افزایش دمای کره زمین نیز گسترش پروشار جنب حاره به عرض‌های بالاتر را افزایش داده باشد. به‌مرحله سیر روند صعودی در ارتفاع جو بهویژه در مناطق غرب و شمال غرب، نقش مهمی در تغییرات دما و بارش‌های نیمه شمالی کشور ایران خواهد داشت که لزوم توجه بیشتر مطالعات گستردتر را می‌طلبد. تغییر مکانی هسته پروشار جنب حاره (پیشروی آن)، الگوی پشته‌ای در مناطق غرب و شمال غرب کشور ایجاد خواهد کرد که، باعث تغییر در شدت و بسامد الگوهای گردش جوی منطقه‌ای بهویژه آب‌وهوای مناطق خزری خواهد شد. بایستی به این نکته اشاره کرد که با توجه به گرمایش جهانی و ذوب شدن بیشتر یخچال‌های قطبی اختلاف دمای قطب و استوا آهنگ کاهشی داشته و درنتیجه با پیشروی پروشار جنب حاره به سمت عرض‌های شمالی‌تر شیو نصف‌النهاری فشار تغییر می‌کند. درنتیجه ناهنجاری‌های آب‌وهوایی افزایش می‌یابد.



شکل ۵- مقادیر روند ارتفاع ژئوپتانسیل جو بر روی ایران (ماه ژوئن)



شکل ۶- مقادیر روند ارتفاع ژئوپتانسیل جو بر روی ایران (ماه جولای)



شکل ۷- مقادیر روند ارتفاع ژئوپتانسیل جو بر روی ایران (ماه آگوست)

۴-نتیجه‌گیری

تغییر در روند سامانه‌های کلان مقیاس اقلیمی همچون پرفشار جنوب حاره، نقش بسزایی در تغییر اقلیم مناطق تحت سیطره خویش ایفا نموده است. در این پژوهش بررسی روند ارتفاع پرفشار جنوب حاره (تراز ۵۰۰ ه.پ) پیگیری شده است. نتایج روند ارتفاع ژئوپتانسیل طی ۴۰ سال (۱۹۸۰-۲۰۱۹) نشان‌دهنده روندی افزایشی در طی دوره بود که از عرض‌های ۳۷ درجه به بعد شیب این روند شدیدتر شده است. واکاوی نقشه‌های همدید نیز نشان می‌دهد که هسته

پرفشار جنوب حاره در تراز ۵۰۰ ه.پ بر روی ایران و مناطق غربی و شمال غرب گسترش بیشتری یافته است. پیامد چنین تغییراتی سبب افزایش فرونژینی و بالارفتن بی درروی دمای هوا در مناطق مذکور گردیده که با یافته‌های [زرین](#) و [مفیدی](#) (۱۳۹۰) کاملاً هماهنگ است. بر پایه یافته‌های پژوهش‌های قبلی ([علیجانی](#) و [همکاران](#)، ۱۳۹۸) و نقشه‌های میانگین بلندمدت ارتفاع رئوپتانسیل تراز ۵۰۰ ه.پ، بین دو بازه زمانی، افزایش ۱۰ متری ارتفاع هسته پرفشار جنوب حاره (در بازه زمانی دوم) تحت تأثیر گرمایش جهانی بر روی ایران دیده می‌شود که با نتایج بررسی‌های تحقیق حاضر تأیید می‌شود. پژوهش پیش رو با هدف شناسایی تغییرات ارتفاع رئوپتانسیل پرفشار جنوب حاره که ایران را تحت تأثیر خود قرار می‌دهد انجام گرفت. این در حالی است که در پژوهش‌های قبلی واکاوی دقیقی از تغییرات ارتفاع رئوپتانسیل جو در عرض و طول جغرافیایی بر روی ایران پیگیری نشده و مطالعه حاضر گویای ردیابی دقیق روند پرفشار جنوب حاره بر روی ایران است.

نتایج پژوهش حاضر نشان داد که طی دوره آماری ارتفاع جو در کشور ایران در ماههای مرداد، تیر و خرداد، آهنگ افزایشی را در سطح معنی داری ۱,۹۶ را تجربه می‌نماید، که احتمالاً با گسترش پرفشار جنوب حاره به عرض‌های جغرافیایی بالاتر انطباق دارد. بررسی روند پرفشار جنوب حاره در این مطالعه نشان می‌دهد که شدت و فعالیت آن بر روی ایران به ویژه در بخش‌های غرب و شمال‌غرب (عرض ۳۸ درجه شمالی) فزونی یافته است. این در حالی است که حاکمیت این سامانه و تغییر موقعیت آن به سمت عرض‌های شمالی‌تر، می‌توان به عنوان یک عامل مؤثر در خشکسالی‌های اخیر در کشور به نظر آورد. همچنین نتایج حاکی از این است که در دوره ۴۰ ساله مورد پژوهش در تمامی ماهها، گستره پرفشار جنوب حاره به سمت شرق و جنوب شرق (طول ۵۲ درجه شرقی) کشور کاهش یافته و سیر نزولی داشته است که عموماً این سیر کاهشی در نیمه گرم سال ناشی فعالیت موносون‌های جنوب شرق آسیا بوده است. به طور کلی، افزایش گستره پرفشار جنوب حاره بر روی ایران، می‌تواند ناشی از تغییرات اقلیمی کلان مقیاس در بعد سیاره‌ای باشد که یقیناً افزایش گرمایش جهانی یکی از پارامترهای تأثیرگذار بر آن خواهد بود. تغییرات شمال‌سو آرایش پرفشار جنوب حاره (الگو پشتیاهی) و انتقال آن به عرض‌های بالاتر همراه با کاهش شیو نصف‌النهاری فشار، باعث ناهنجاری‌های اقلیمی منطقه‌ای از جمله تغییر در نوع و میزان بارش و دما خواهد شد.

کتابنامه

- حجازی‌زاده، زهراء؛ ۱۳۷۲. بررسی سینوپتیکی نوسانات فشار زیاد جنوب حاره. رساله دکتری جغرافیای طبیعی. دانشگاه تربیت مدرس تهران، استاد راهنما، هوشنگ قائمی.
- زرین، آذر؛ ۱۳۸۶. تحلیل پرفشار جنوب حاره تابستانه بر روی ایران. رساله دکتری جغرافیای طبیعی. دانشگاه تربیت مادرس تهران، استاد راهنما، هوشنگ قائمی.

زرین، آذر؛ مفیدی، عباس؛ ۱۳۹۰. آبی پرفشار جنوب حاره‌ای تابستانه بر روی ایران زبانه‌ای از پرفشار جنوب حاره‌ای آزور است؟ «بررسی یک نظریه»، یازدهمین کنگره انجمن جغرافیدانان ایران - ۲۴ و ۲۵ شهریورماه ۱۳۹۰- دانشگاه شهید بهشتی، صص ۱-۱۵.

عزیزی، قاسم؛ ۱۳۸۳. تغییر اقلیم. تهران، نشر قومس، صص ۱۲۳.

عساکر، حسین؛ ۱۳۸۶. کاربرد رگرسیون خطی در تحلیل روند دمای تبریز. تحقیقات جغرافیایی، شماره پیاپی ۸۷ صص ۲۵-۳۹.

عساکر، حسین؛ ۱۳۹۲. تحلیل روند موسم‌های خشک و تر در شهر زنجان. جغرافیا و توسعه، شماره ۳۱، صص ۴۹-۴۰.

<https://www.sid.ir/fa/Journal/ViewPaper.aspx?ID=191047>

علیجانی، بهلول و همکاران؛ ۱۳۹۸. رفتار سنجی اثر گرمایش جهانی بر پرفشار جنوب حاره. پژوهش‌های جغرافیایی طبیعی، شماره ۱، صص ۵۰-۳۳.

علیجانی، بهلول؛ ۱۳۷۸. بررسی سینوپتیکی سطح ۵۰۰ هکتوپاسکال خاورمیانه در دوره ۱۹۶۱-۱۹۹۰، مجله نیوار، شماره ۴۵-۴۴، صص ۲۹-۷.

علیجانی، بهلول؛ ۱۳۸۴. آب و هوای ایران. انتشارات پیام نور، صص ۲۳۰.

قائمی، هوشتنگ و همکاران؛ ۱۳۸۸. تحلیل الگوی فضایی پرفشار جنوب حاره بر روی آسیا و آفریقا. فصلنامه مدرس علوم انسانی، شماره ۱، صص ۲۲۴-۲۲۳.

کاشکی، عبدالرضا؛ ۱۳۹۶. واکاوی روند تاواه قطبی در نیمکره شمالی تحت شرایط تغییر اقلیم. جغرافیا و مخاطرات محیطی، شماره ۲۳، صص ۱۹۷-۱۸۱.

مفیدی، عباس و همکاران؛ ۱۳۸۹. گردش جو تابستانه در وردیپهرو فوکانی بر روی جنوب‌غرب آسیا و وردایی زمانی آن در طی نیم قرن گذشته. ارزیابی علمی و شناخت تغییر اقلیم. چهارمین کنفرانس منطقه‌ای تغییر اقلیم، تهران، ۲۹ آذر الی ۱ دی ماه ۱۳۸۹، صص ۱۲.

Agree, E. M., 1991. Trends in cyclone and Anticyclone Frequency and Comparison with Periods of Warming and Cooling over the Northern Hemisphere. Journal of Climate, 4, 263-2267.
[https://doi.org/10.1175/1520-0442\(1991\)004<0263:TICAAC>2.0.CO;2](https://doi.org/10.1175/1520-0442(1991)004<0263:TICAAC>2.0.CO;2)

Barry, R. G., Carlton, M., 2001. Synoptic and Dynamic Climatology, Shubhi Publications London, London. <https://www.routledge.com/Synoptic-and-Dynamic-Climatology/Barry-Carleton/p/book/9780415031165>

Bell, G. D., and Boast, L. F., 1989. A 15-year climatology of northern hemisphere 500 mb closed cyclone and anticyclone centers. Mon. Wea. Rev., 117, pp. 10-198. [https://doi.org/10.1175/1520-0493\(1989\)117<2142:AYCONH>2.0.CO;2](https://doi.org/10.1175/1520-0493(1989)117<2142:AYCONH>2.0.CO;2)

Cherchi, A., Ambizzzi, T., Behera, S., Carolina, A., Morioka, Y., and Zhou, T., 2018. The Response of Subtropical Highs to Climate Change. <https://doi.org/10.1007/s40641-018-0114-1. Corpus ID:134011562>.

Davis, R. E., Hayden, P., Gay, A., Phillips, L., and Jones, V., 1997. The North Atlantic Subtropical Anticyclones. Journal of Climate, Vol. 10, pp. 278-744. [https://doi.org/10.1175/1520-0442\(1997\)010<0728:TNASA>2.0.CO;2](https://doi.org/10.1175/1520-0442(1997)010<0728:TNASA>2.0.CO;2)

- Galarneau, T., Bogart, F., and Aiyer, R., 2006. Closed Anticyclones of Subtropical and Midlatitudes" A 54-y Climatology (1950-2003) and three case Studies" , Submitted to J. Climate, NO.55, pp.349-392. https://doi.org/10.1007/978-0-933876-68-2_16.
- Harris, M. F. G., 1962. Finger and steels. Diurnal variation of wind, pressure and temperature in the troposphere and stratosphere over the Azores", Journal of the Atmospheric Sciences, volume 19:136-149. [https://doi.org/10.1175/1520-0469\(1962\)019<0136:DVOWPA>2.0.CO;2](https://doi.org/10.1175/1520-0469(1962)019<0136:DVOWPA>2.0.CO;2)
- Hoskins, B., 1996. on the existence and strength of the summer subtropical anticyclones: Bernhard Hurwitz memorial lecture. Bulletin of the American Meteorological Society, 77, 1287-1292. <https://doi.org/10.1002/qj.49712253408>
- Lee, S. K., Enfield, D. B., and Wang, C., 2011. Future impact of differential Interbasin Ocean warming on Atlantic hurry-can. J. Climate, 24, 1264-1275. <https://doi.org/10.1175/2010JCLI3883.1>
- Liu, Y. M, Wu, G. X., Liu, H., and Liu, P., 2001. Condensation heating of Asian summer monsoon and the subtropical anticyclone in the Eastern Hemisphere. Climate Dynamics, 17,327-338. <http://dx.doi.org/10.1007/s003820000117>
- Liu, Y., and Wu, X, 2004, Progress in the study on the formation of the Summertime Subtropical Anticyclone, Advances in Atmospheric Sciences 21,pp. 320-343. [10.1007/BF02915562](https://doi.org/10.1007/BF02915562)
- Lu, R., and Dong, B., 2001. Westward extension of North Pacific subtropical high in summer. Journal of the Meteorological Society of Japan, 79, 1229-1241. <https://doi.org/10.2151/jmsj.79.1229>
- Natalie, A. F., J. B., Erik, T. S., and David, M. S., 2021. The Influence of South Pacific Convergence Zone Heating on the South Pacific Subtropical Anticyclone. Journal of Climate, Volume 34, Issue 10, p.3787-3798. <https://doi.org/10.1175/JCLI-D-20-0509.1>
- Raible, C.C., Stocker, T.F., Yoshimori, M., Renold, M., Beyerle, U., Casty C. L. J., 2005. Northern Hemispheric Trends of Pressure Indices and Atmospheric Circulation Patterns in Observations, Reconstructions, and Coupled GCM Simulations. Journal of Climate, Vol. 19, No.18, PP. 3968° 3982. <https://doi.org/10.1175/JCLI3511.1>
- Santos, J. A., Corte-Real, J., and Leite, M., 2005. Weather Regimes and Their Connection to the Winter Rainfall in Portugal, International Journal of Climatology, Vol.25, pp. 33-50. <https://doi.org/10.1002/joc.1101>
- Tivig, M., Verena, G., Viju. O. J., and Stefan, A. B., 2020. Trends in Upper-Tropospheric Humidity: Expansion of the Subtropical Dry Zones? Journal of Climate, 33 (6). pp. 2149-2161. <https://doi.org/10.1175/JCLI-D-19-0046.1>
- Wu, B., Zhou, T., and Liu, T., 2017. Responses of the summertime Subtropical Anticyclones to Global Warming, Climate Dyn., 49, 6465-6479. <https://doi.org/10.1175/JCLI-D-16-0529.1>
- Wu, G. X., Liu, Y., and Liu, P., 2004. Formation of the Summertime Subtropical Anticyclone. East Asian Monsoon (World Scientific Series on Meteorology of East Asia), Chang, C. P., Ed., World Scientific Publishing Company, 560. https://doi.org/10.1142/9789812701411_0014